



ناحیه پایداری مناسب برای طیف‌سنج جرمی دام یون چهار قطبی RF با ولتاژ ضربه‌ای

مینا برادران^{*}، سید محمد سادات کیائی^۱، علیرضا شرفی^۲

۱- پژوهشکده لیزر و اپتیک، پژوهشگاه علوم و فنون هسته‌ای، سازمان انرژی اتمی، صندوق پستی: ۱۱۳۶۵-۸۴۸۶، تهران - ایران

۲- پژوهشکده علوم هسته‌ای، پژوهشگاه علوم و فنون هسته‌ای، سازمان انرژی اتمی ایران، صندوق پستی: ۱۱۳۶۵-۳۴۸۶، تهران - ایران

چکیده: دام یون چهار قطبی در سطح وسیعی برای محصورسازی یونها و طیف‌سنجی جرمی مورد استفاده قرار می‌گیرد و شاهد استفاده روزافزون این طیف‌سنج می‌باشیم. معمولاً برای محصورسازی یون‌ها در این دام، از ولتاژ سینوسی استفاده می‌شود. اما با استفاده از ولتاژ ضربه‌ای می‌توان قدرت نفکیک طیف‌سنج جرمی را افزایش داد بطوری که در زمینه جداسازی ایزوتوپهای سبک کاربرد داشته باشد. در این مقاله برای طراحی این طیف‌سنج با ولتاژ ضربه‌ای محاسباتی روی نواحی اول و دوم انجام دادیم و با بررسی و تحلیل نتایج این محاسبات به این نتیجه رسیدیم که ناحیه اول پایداری، برای عملکرد دام با ولتاژ ضربه‌ای مناسب می‌باشد.

واژه‌های کلیاتی: یونها، دام یون چهار قطبی، طیف‌سنج‌های جرمی، ولتاژ ضربه‌ای، ناحیه‌های پایداری

Proper Stability Region of the Impulsional Mode of an Rf Quadrupole Ion Trap Mass Spectrometer

M. Baradaran^{*1}, S.M. Sadat Kiai², A.R. Sharafi²

1- Laser and Optics Research School, Nuclear Science and Technology Research Institute, AEOI, P.O. Box: 11365-8486, Tehran - Iran
2- Nuclear Science Research School, Nuclear Science and Technology Research Institute, AEOI, P.O. Box: 11365-3486, Tehran - Iran

Abstract: Quadrupole ion trap is widely used as an ion storage in gaseous phase and as mass spectrometer. In its classical approach, a sinusoidal voltage form is used to confine the ions in a small region. By using an impulsional voltage, on the other hand, it is possible to increase the mass spectrometer resolution so as to be applicable for separation of light isotopes. In this article we present the theoretical treatment based on the first and second ion stability region. The results show that the first stability region is more adaptable to the impulsional mode of ion trap operation.

Keywords: Ions, Quadrupole Ion Trap, Mass Spectrometers, Impulsional Mode, Stability Regions

*email: mbaradaran@aeoi.org.ir

تاریخ دریافت مقاله: ۸۵/۲/۱۶ تاریخ پذیرش مقاله: ۸۵/۸/۲۲

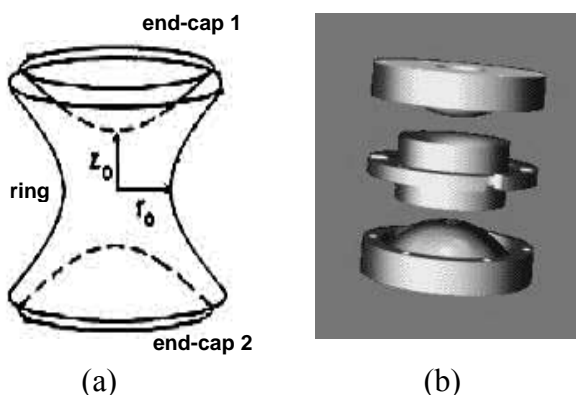


۱- مقدمه

دام یون چهار قطبی از سه الکترود تشکیل شده که در شکل ۱ نشان داده شده است. دو تا از این سه الکترود یکسان هستند و ساختار هذلولی دارند و سوراخهایی در مرکز هر الکترود وجود دارد. این دو الکترود، کلاهک‌ها (end-caps) نامیده می‌شوند. یکی از کلاهک‌ها یک دریچه کوچک مرکزی دارد که الکترونها یا یونها بصورت پریودیک می‌توانند داخل شوند. در حالیکه الکترود دیگر چندین دریچه کوچک دارد و یونها از میان آنها به سوی آشکارساز عبور می‌کنند. در دستگاه‌های دام یون با چشمی یون خارجی، هر کلاهک یک سوراخ دارد. سومین الکترود نیز ساختار هذلولی دارد و «الکترود حلقوی» ring نامیده می‌شود. شعاع این الکترود در صفحه مرکزی، r_0 و تقریباً ۱cm است. الکترود حلقوی بطور متقارن بین دو کلاهک قرار می‌گیرد [۱]. معمولاً بین ابعاد دام یعنی r_0 و $Z_0 = 2r_0^2$ برقرار است.

برای محصورسازی یونی به جرم m و بار الکتریکی e، پتانسیل RF سینوسی بصورت $V(t) = V \cos(\Omega t)$ به الکترود حلقوی و پتانسیل ثابت U- به دو الکترود انتهایی (کلاهک‌ها) اعمال می‌شود (شکل ۲-a). بر اثر اعمال این پتانسیل، یون در راستای r و z (سه بعد) محصور می‌شود. با اعمال پتانسیل‌های ذکر شده به الکترودها، پتانسیل در فضای بین الکترودها به صورت زیر خواهد بود.

$$\varphi_u = \frac{\varphi_0}{r_0^2} (r^2 - 2z^2) \quad \varphi_0 = U - V(t) \quad (u=r, z) \quad (1)$$



شکل ۱- سه الکترود دام یون چهار قطبی، (a) بطور شماتیک، (b) واقعی.

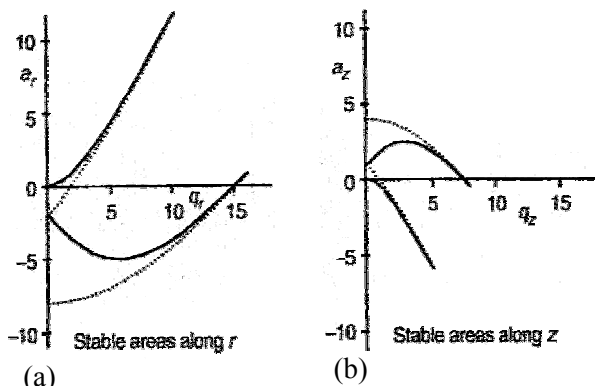
دام یون چهار قطبی RF کاربردهای زیادی در اسپکتروسکوپی، زمان‌سنجی، مطالعه شیمیایی یونهای گازی، تجزیه یونها و طیف‌سنجی جرمی دارد. طیف‌سنج جرمی دام یون چهار قطبی RF با روش نسبتاً آسانی که برای جداسازی جرمی ارائه داده است، تحولی در طیف‌سنجی جرمی است؛ از این جهت از حساس‌ترین دستگاه‌های طیف‌سنج جرمی است؛ از این جهت که از نظر فیزیکی در مقایسه با دستگاه‌های قطاع مغناطیسی و الکتریکی خیلی کوچکتر است (کل مجموعه در کف دست جا می‌گیرد)، دستگاهی فوق العاده بوده و از نظر قیمت نیز ارزان است. بنابراین طیف‌سنج جرمی دام یون چهار قطبی دستگاهی است با حساسیت زیاد، بازه جرمی وسیع و قدرت تفکیک جرمی بالا [۱ تا ۴].

برای محصورسازی یونها معمولاً ولتاژ سینوسی بکار می‌رود. اما در سال ۱۹۹۱ یکی از نویسندها، به جای ولتاژ سینوسی، ولتاژ ضربه‌ای پریودیک پیشنهاد کرد [۵].

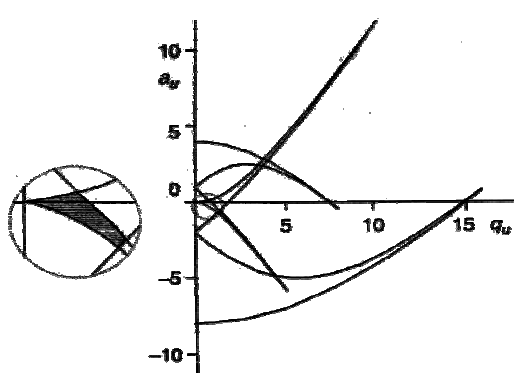
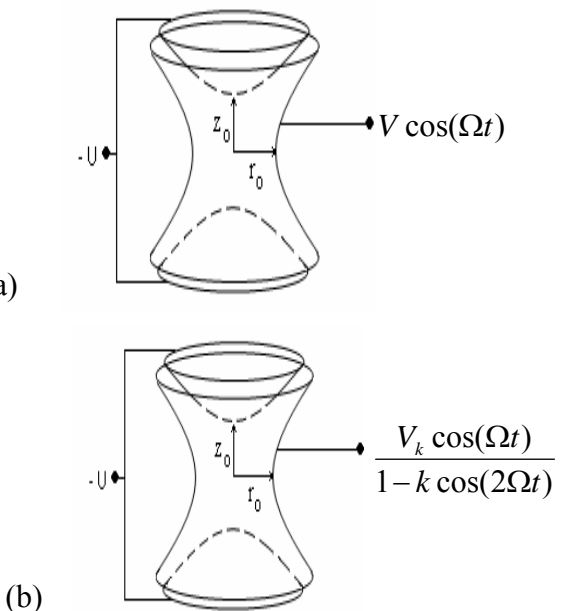
مطالعات مختلفی در مورد نواحی پایداری در فضای (a,q)، شکل نوسان یون، فضای فاز و افزایش قدرت تفکیک طیف‌سنج جرمی دام یون چهار قطبی RF با ولتاژ ضربه‌ای انجام داده‌ایم [۶، ۷ و ۸]. همچنین این ولتاژ را برای جداسازی ایزوتوپهای سبک در بازه جرمی ۱-۴u پیشنهاد داده و گزارشی از مراحل ساخت دام ارائه داده‌ایم [۹]. نکته‌ای که در طراحی دستگاه با ولتاژ ضربه‌ای باید به آن توجه داشت، انتخاب ناحیه پایداری است که باید در آن کار کرد. در این مقاله با بررسی و تکمیل محاسبات انجام گرفته، به انتخاب ناحیه کاری مناسب برای انجام دادن طیف‌سنجی جرمی در دام یون چهار قطبی RF با ولتاژ ضربه‌ای می‌پردازیم. ابتدا مختصراً به مبانی نظری عملکرد دام یون چهار قطبی RF و معادلات مربوط به حالت سینوسی و ضربه‌ای می‌پردازیم و روش حل این معادلات را توضیح می‌دهیم. سپس با بحث درباره خواص مکانیکی یون در دام در حالت سینوسی و ضربه‌ای، همچنین بررسی نواحی پایداری در فضای تشکیل شده از پتانسیل ثابت و دامنه ولتاژ ضربه‌ای برای جرم‌های مورد نظر در بازه جرمی ۱-۴u به انتخاب ناحیه مناسب می‌پردازیم.



معادله حرکت یون را می‌توان به ازای مقادیر مختلف پارامترهای a و q حل کرد. بنابراین، به ازای هر جفت پارامتر a و q می‌توان دریافت که آیا حرکت یون پایدار است، یعنی با گذشت زمان به الکتروودها برخورد نمی‌کند، یا اینکه حرکت ناپایداری دارد و با گذشت زمان به الکتروودها برخورد خواهد کرد. بر همین اساس می‌توان در فضای (a,q) برای حرکت یون نواحی پایدار و ناپایدار را مشخص کرد. همچنین می‌توان معادله حرکت یون را برحسب پارامترهای U -و V (یعنی پتانسیل ثابت و دامنه پتانسیل RF) حل کرد و نواحی پایدار و ناپایدار را در فضای (U,V) مشخص کرد. این نواحی نقش تعیین کننده‌ای در انتخاب مقادیر پتانسیل مناسب که، بتوان بوسیله آنها یون‌ها را محصور ساخت، ایفا می‌کنند. به عنوان مثال، شکل (۳-a) این نواحی پایداری را در راستای Z نشان می‌دهد و شکل (۳-b) این نواحی پایداری را در راستای r نشان می‌دهد؛ برای اینکه یون حرکت پایداری در سه بعد داشته باشد باید هم در راستای r و هم در راستای Z پایدار باشد، یعنی در برهم نهی این نواحی پایداری قرار بگیرد. شکل ۴ نواحی پایداری در سه بعد را نشان می‌دهد.



شکل ۳- نواحی پایداری بر حسب (a) و (b)

شکل ۴- نواحی پایداری در راستاهای r و Z در دام یون.

شکل ۲- دام یون چهار قطبی RF با پتانسیل (a) سینوسی، (b) ضربه‌ای.

برای بدست آوردن معادلات حرکت یون در دام داریم:

$$F = m \frac{\partial^2 u}{\partial t^2} = -e \frac{\partial \varphi}{\partial u} \quad (u=r, z) \quad (2)$$

طبق رابطه‌های (۱) و (۲) و با تغییر متغیر $t = \frac{\Omega t}{2}$ ، معادلات

حرکت یون در دام را بدست می‌آوریم:

$$\ddot{z} - \frac{2e}{mr_0^2} [U - V(t)] z = 0 \quad (3-\text{الف})$$

$$\ddot{r} - \frac{e}{mr_0^2} [U - V(t)] r = 0 \quad (3-\text{ب})$$

که با تغییر متغیرهای:

$$q_z = \frac{2eV}{mz_0^2 \Omega^2} = -2q_r \quad (4-\text{الف})$$

$$a_z = \frac{-4eU}{mz_0^2 \Omega^2} = -2a_r \quad (4-\text{ب})$$

معادلات حرکت یون در دام به صورت معادله ماتیو در خواهد آمد [۱ تا ۴]:

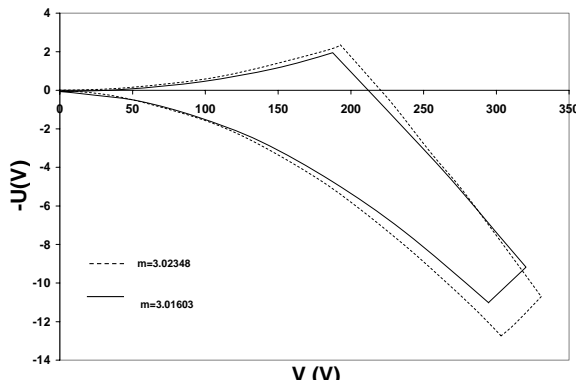
$$\frac{d^2 u}{d\xi^2} + (a_u - 2q_u \cos 2\xi) u = 0 \quad (5-\text{الف})$$

$$\xi = \frac{\Omega t}{2} \quad (u=r, z) \quad (5-\text{ب})$$

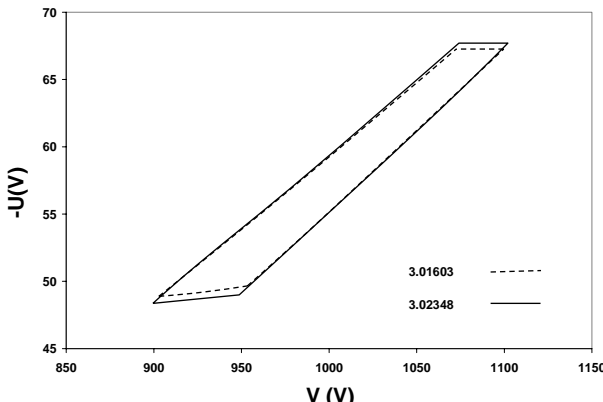


محدود (finite differerce) با گام زمانی $\Delta t = 10^{-11} \text{ sec}$ به ازای ولتاژ ضربه‌ای و ولتاژ سینوسی با بسامد 1.1 MHz ۱.۱ عناصر ماتریس M را به دست آورده‌ایم. (البته برخی از محاسبات با روش Second Order Runge-Kutta حساب شده‌اند). با حل معادله فوق، نواحی پایداری، شکل نوسان یون و نمودارهای فضای فاز را به ازای ولتاژ سینوسی و ضربه‌ای بدست آورده‌ایم [۷]. در اینجا برای انتخاب ناحیه کاری مناسب در حالت ولتاژ ضربه‌ای در طیف سنج برای ایزوتوپهای $H_3^+ = 3.02348u$ و $^{3}\text{He}^+ = 3.01603u$ پایداری اول و دوم را به ازای $k = 0.99$ بدست آورده‌ایم. که در شکل‌های ۵ و ۶ نشان داده شده‌اند.

بطوریکه در این شکل‌ها مشاهده می‌شود ولتاژ کار به ازای ولتاژ ضربه‌ای در ناحیه دوم پایداری نسبت به ناحیه اول پایداری خیلی بالاتر است و این امر باعث بروز مشکلاتی به هنگام کار کردن در ناحیه دوم می‌شود.



شکل ۵- ناحیه اول پایداری به ازای $k = 0.99$ برای ایزوتوپهای H_3^+ , $^{3}\text{He}^+$



شکل ۶- ناحیه دوم پایداری به ازای $k = 0.99$ برای ایزوتوپهای H_3^+ , $^{3}\text{He}^+$

پارامتر دیگری که در بررسی حرکت یون مهم است، پارامتر β_u می‌باشد که تابع پیچیده‌ای از دو پارامتر a و q است و مرزهای نواحی پایداری با خطوط $\beta_u = \text{cte}$ مشخص می‌شوند. مرزهای ناحیه اول پایداری با خطوط $\beta_z = 0, 1$ و $\beta_r = 0, 1$ مشخص می‌شوند و شرط پایداری بصورت $1 < \beta_z < 0 < \beta_r < 1$ می‌باشد، مرز ناحیه دوم پایداری با خطوط $\beta_z = 1, 2$ و $\beta_r = 0, 1$ مشخص می‌شود و شرط پایداری بصورت $0 < \beta_z < 2, 0 < \beta_r < 1$ است.

حال اگر به جای اعمال ولتاژ سینوسی $V(t) = V \cos(\Omega t)$ به الکترود حلقوی، ولتاژ ضربه‌ای با معادله:

$$V(t) = \frac{V_0 \cos(\Omega t)}{1 - k \cos(2\Omega t)} \quad V_0 = (1 - k)V_k \quad 0 \leq k \leq 1 \quad (6)$$

$$V_{k=0} = V$$

را به الکترود حلقوی اعمال کنیم (شکل ۲-b) (که در آن V_k دامنه پتانسیل ضربه‌ای است)، معادلات (۴) و (۵) به معادلات (۷) و (۸) تبدیل خواهد شد [۵ و ۶].

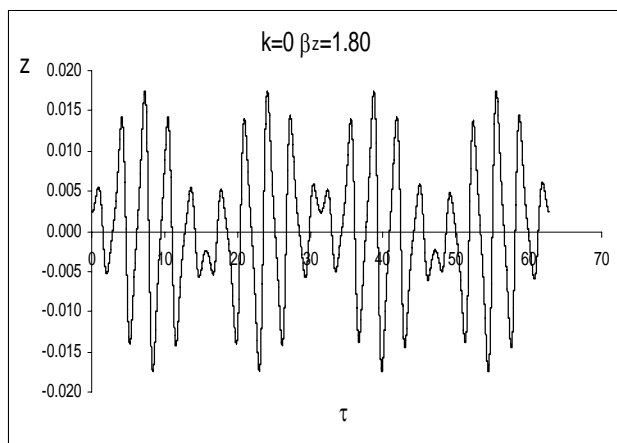
$$\frac{\partial^2 u(\xi)}{\partial \xi^2} + \left[a_u - 2q_u \frac{\cos(2\xi)}{1 - k \cos(4\xi)} \right] u(\xi) = 0 \quad (7)$$

$$a_z = \frac{-4eU}{mz_0^2 \Omega^2} = -2a_r \quad \text{و} \quad q_z = \frac{2eV_k(1-k)}{mz_0^2 \Omega^2} = -2q_r \quad (8)$$

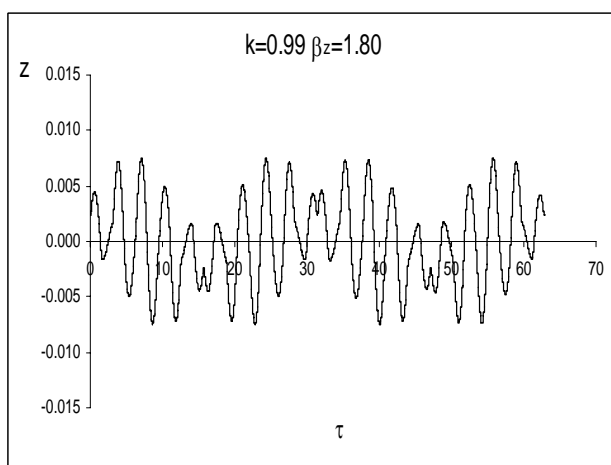
استفاده از ولتاژ ضربه‌ای، به طوری که در مراجع [۵ تا ۹] آمده است دارای محاسنی است، از آن جمله، با وجود این ولتاژ، هنگام تزریق یون‌ها به درون دام، انرژی یون‌ها دستخوش تغییر نمی‌شود و این هم به علت وجود ناحیه وسیع مساوی صفر در این ولتاژ است که می‌توان یون‌ها را هنگام صفر بودن این ولتاژ به درون دام تزریق کرد. همچنین این ولتاژ باعث بالا رفتن قدرت تفکیک در طیف سنج جرمی دام یون چهار قطبی RF می‌شود.

۳- یافته‌ها و بحث

معادله ۷، صورت کلی معادلات Hill می‌باشد و ما برای حل آن از روش ماتریسی که Pipes [۱۰] آن را ابداع کرده و Dawson [۱۱، ۱۲ و ۱۳] برای حل این قبیل معادلات آن را بکار گرفته است، استفاده کرده‌ایم و با استفاده از روش تفاضل



(a)



(b)

شکل ۸- مسیر حرکت یون به ازای $\beta_z=1.8$ (ناحیه دوم پایداری) برای (a) $k=0$ و برای (b) $k=0.99$.

با توجه به مطالبی که در مورد نوسان یون در مرجع [۱۴] آمده است به نکات زیر توجه می‌کنیم:

- حرکت یون برای هر دو ناحیه اول و دوم، شامل دو مؤلفه می‌باشد: حرکت اصلی (Secular motion) که با فرکانس مشخصه $\omega = \frac{\beta\Omega}{2}$ می‌باشد و «ریز حرکت» (micromotion) که از ترکیب چندین مؤلفه با فرکانس اصلی Ω و ضرایبی از آن تشکیل شده که دامنه‌های آنها با فرکانس $n\Omega$ ($n=2, 3, 4$) مدوله شده است. نسبت دو مؤلفه اصلی و ریز حرکت، مقدار a, q تعداد مؤلفه‌های قابل ارزیابی و وزن آنها به مقادیر a, q بستگی شدید دارد.

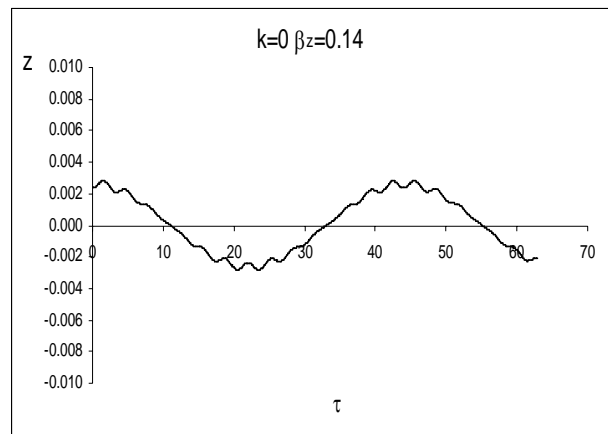
- ریز حرکت در راستای Z در ناحیه دوم از چند مؤلفه با بسامدهای Ω و $n\Omega$ ($n=2, 3, 4$) معمولاً تا ۳ تشکیل شده است. در حالیکه در ناحیه اول فقط مؤلفه Ω مهم می‌باشد. دامنه ریز

اینک به بررسی خواص مکانیکی یون‌های محصور شده می‌پردازیم؛ این خواص عبارتند از: مسیر حرکت یون و فضای فاز، یعنی فضای سرعت بر حسب جابجایی (\dot{u}, u).

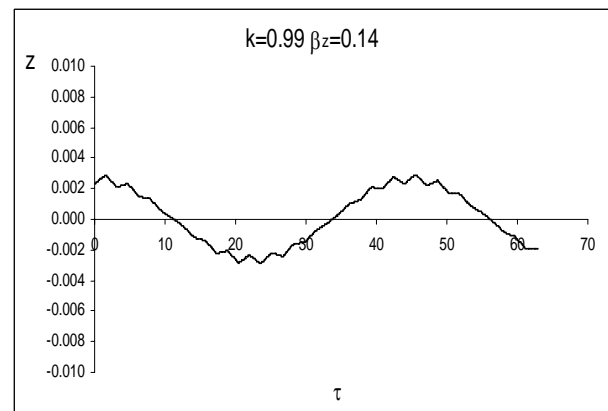
در شکل ۷ مسیر حرکت یون به ازای $\beta_z=0.14$ (ناحیه اول پایداری) برای (a) $k=0.2$ با $q_z=0.2$ و $a_z=0$ و برای (b) $k=0.99$ با $q_z=0.014$ و $a_z=0$ رسم شده است.

در شکل ۸ مسیر حرکت یون به ازای $\beta_z=1.8$ (ناحیه دوم پایداری) برای (a) $k=0$ با $q_z=3.836$ و $a_z=2.789$ و برای (b) $k=0.99$ با $q_z=0.297$ و $a_z=3.765$ رسم شده است.

بطوری که در شکل ۷ برای ناحیه اول پایداری دیده می‌شود، به ازای β_z یکسان، شکل نوسان یون در ناحیه اول در حالت‌های ضربه‌ای و سینوسی فرق چندانی نمی‌کند. اما در شکل ۸ برای ناحیه دوم پایداری مشاهده می‌شود که به ازای β_z یکسان شکل نوسان یون در حالت ضربه‌ای و سینوسی متفاوت است.



(a)



(b)

شکل ۷- مسیر حرکت یون به ازای $\beta_z=0.14$ (ناحیه اول پایداری) برای (a) $k=0$ و برای (b) $k=0.99$.



پارامترهای مربوط به بیضی‌های فضای فاز به ازای $\Omega = 4$ مقدار متفاوت از فاز اولیه و لتاژ RF برای $k=0.99$ در ناحیه اول و دوم پایداری حساب شده است.

در جدول ۱ نتایج مربوط به ناحیه اول به ازای مقدار $\beta_z = 0.14$ در جدول ۲ شده است.

در جدول ۲ نتایج مربوط به ناحیه دوم به ازای مقدار $\beta_z = 1.8$ مندرج است.

جدول ۱- پارامترهای مربوط به بیضی‌های فضای فاز در ناحیه اول پایداری ($\beta_z = 0.14$) به ازای $\Omega = 4$ مقدار متفاوت از فاز اولیه و لتاژ RF برای $k=0.99$ (b) $, k=0$ (a)

K=0 $\beta_z=0.14$ $a_z=0$ $q_z=0.2$				
ξ_0	A _z	B _z	Γ_z	ϵ_z
$\pi/2$	7.89E-05	8.66522	0.115419	0.115405
0	-5.6E-05	5.76655	0.173399	0.115404
$\pi/4$	-1.4456	7.10720	0.434734	0.115404
$-\pi/4$	1.445582	7.10712	0.434734	0.115404

(a)

K=0.99 $\beta_z=0.14$ $a_z=0$ $q_z=0.014$				
ξ_0	A _z	B _z	Γ_z	ϵ_z
$\pi/2$	0.00058	8.95192	0.111816	0.111706
0	-0.00038	5.78721	0.172687	0.111706
$\pi/4$	-1.10022	7.20983	0.306593	0.111706
$-\pi/4$	1.10021	7.20977	0.306593	0.111706

(b)

جدول ۲- پارامترهای مربوط به بیضی‌های فضای فاز در ناحیه دوم پایداری ($\beta_z = 1.8$) به ازای $\Omega = 4$ مقدار متفاوت از فاز اولیه و لتاژ RF برای $.k=0.99$ (b) $, k=0$ (a)

K=0 $\beta_z=1.8$ $a_z=2.789$ $q_z=3.836$				
ξ_0	A _z	B _z	Γ_z	ϵ_z
$\pi/2$	0.00058	8.95192	0.111816	0.111706
0	-0.00038	5.78721	0.172687	0.111706
$\pi/4$	-1.10022	7.20983	0.306593	0.111706
$-\pi/4$	1.10021	7.20977	0.306593	0.111706

(a)

K=0.99 $\beta_z=1.8$ $a_z=3.765$ $q_z=0.297$				
ξ_0	A _z	B _z	Γ_z	ϵ_z
$\pi/2$	-5.8E-05	0.08324	12.01198	0.42266
0	-0.00035	0.22197	4.506662	0.42266
$\pi/4$	0.14846	2.36852	0.431406	0.422661
$-\pi/4$	-0.14806	2.36853	0.431354	0.42266

(b)

حرکت در ناحیه دوم با دامنه حرکت اصلی قابل مقایسه است. اما در ناحیه اول، دامنه ریز حرکت در مقایسه با دامنه حرکت اصلی کوچک‌تر، حتی بسیار کوچک‌تر می‌باشد.

حال با توجه به این نکات، می‌توان حرکت یون در شکل‌های ۷ و ۸ را توضیح داد.

در شکل ۷ که مربوط به ناحیه اول پایداری می‌باشد داریم: $\beta_z \Omega < \omega_z$ و بسامد اصلی (Secular) نوسان یون برای هر دو لتاژ ضربه‌ای و سینوسی از رابطه $\frac{\beta_z \Omega}{\omega_z}$ بدست می‌آید. بنابراین مؤلفه‌ای از حرکت یون که حرکت اصلی (Secular) می‌باشد در هر دو لتاژ یکسان است. از طرفی در ناحیه اول می‌دانیم که در ریز حرکت فقط مؤلفه شامل Ω مهم می‌باشد، پس برای دو لتاژ ضربه‌ای و سینوسی بسامد ریز حرکت نیز تقریباً یکسان و دامنه این حرکت نیز در مقایسه با دامنه حرکت اصلی بسیار کوچک است و مقایسه دو لتاژ نشان می‌دهد که تغییر چندانی در شکل نوسان یون مشاهده نمی‌شود.

اما در شکل ۸ که مربوط به ناحیه دوم پایداری می‌باشد داریم: $\beta_z < \omega_z < 1$ و بسامد اصلی نوسان یون برای هر دو لتاژ ضربه‌ای و سینوسی از رابطه $\frac{\beta_z \Omega}{\omega_z}$ به دست می‌آید. بنابراین مؤلفه‌ای از حرکت یون که حرکت اصلی است، برای هر دو لتاژ یکسان می‌باشد و اختلاف شکل نوسان یون برای لتاژ ضربه‌ای و سینوسی در مؤلفه ریز حرکت نهفته است. علت این تفاوت این است که، در ناحیه دوم ریز حرکت علاوه بر فرکانس Ω ، شامل فرکانس‌های $n\Omega$ (n=2, 3, 4) نیز بوده و دامنه این حرکت نیز بزرگ‌تر می‌باشد. چون تعداد مؤلفه‌های Ω و اندازه دامنه آنها به پارامترهای q, a وابسته است و برای لتاژ سینوسی و ضربه‌ای حتی به ازای $\beta_z = 1.8$ نیز متفاوت می‌باشد، شکل مؤلفه ریز حرکت برای $k=0.99$, $k=0$ حتی برای $\beta_z = 1.8$ خواهد بود. بنابراین شکل نوسان یون تغییر خواهد کرد.

برای یونی که حرکت پایدار دارد، اگر مکان و سرعت یون به ازای فازهای اولیه مختلف (فاز پتانسیل اعمال شده هنگامی که یون وارد دام می‌شود) و برای n سیکل کامل پتانسیل RF حساب شود. نقاط حساب شده در فضای فاز (\dot{u}, u) روی بیضی‌های قرار خواهند گرفت که هر بیضی مربوط به یک فاز اولیه می‌باشد. معادله این بیضی‌ها بصورت زیر است:

$$\Gamma u^2 + 2Aui\dot{u} + B\dot{u}^2 = \varepsilon \quad (9)$$



فضای فاز نیز این مسئله مشاهده و پیش‌بینی می‌شود که ویژگی بیضی‌های فضای فاز در ناحیه اول پایداری بیشتر تابع مقدار پارامتر β است. اما در ناحیه دوم، این ویژگی بیضی‌ها نه تنها تابع پارامتر β است بلکه به پارامترهای a و q نیز بستگی دارد. به این معنی که حتی برای β ‌های یکسان اگر پارامترهای a و q تفاوت داشته باشند ویژگی‌های بیضی‌ها نیز متفاوت خواهند بود و با توجه به این که حتی با برابر گرفتن β در حالتهای $k=0.99$ و $k=0.99$ مقادیر a و q کاملاً متفاوت خواهد بود، نباید انتظار داشت که رفتار مشابهی مشاهده گردد.

۴- نتیجه‌گیری

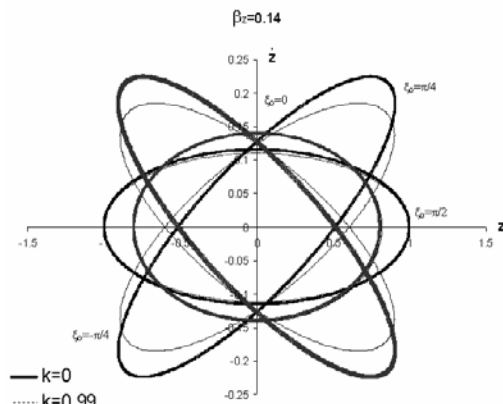
با توجه به محاسبات ولتاژ ضربه‌ای در ثابت نگه داشتن انرژی یونهای تزریق شده به درون دام و بالاتر بودن قدرت تغییرک نسبت به ولتاژ سینوسی، کاربرد این ولتاژ را توصیه می‌کنیم اما در طراحی طیف سنج با ولتاژ ضربه‌ای، باید ناحیه پایداری مناسب برای کار کردن را مشخص کرد.

از محاسبات و نمودارهایی که درباره آن‌ها بحث شد نتیجه می‌گیریم که در ناحیه اول، ویژگی‌های مکانیکی یونهای محصور شده در دام یون چهار قطبی به ازای ولتاژ سینوسی و ضربه‌ای تقریباً یکسانند؛ اما در ناحیه دوم، ولتاژ RF که با آن کار دیگر با توجه به نمودارها در ناحیه دوم، ولتاژ RF می‌شود بالاست و این مسئله با وجود ولتاژ ضربه‌ای تقویت RF می‌شود. بنابراین در طیف سنج جرمی دام یون چهار قطبی که از ولتاژ ضربه‌ای استفاده می‌شود، کار کردن در ناحیه دوم پایداری غیر منطقی به نظر می‌رسد و بهتر است که در ناحیه اول پایداری کار کرد.

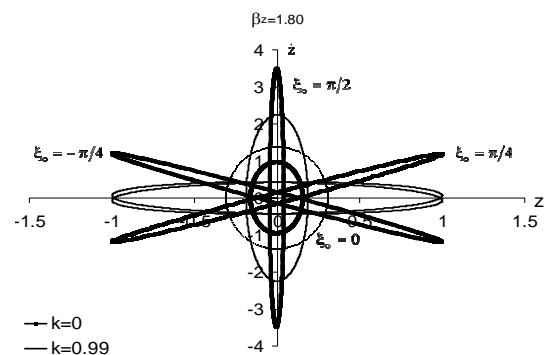
شکل ۹ بیضی‌های فضای فاز را به ازای $\beta_z=0.14$ (ناحیه اول) برای $k=0$ و $k=0.99$ نشان می‌دهد.

شکل ۱۰ بیضی‌های فضای فاز را به ازای $\beta_z=1.8$ (ناحیه دوم) برای $k=0$ و $k=0.99$ نشان می‌دهد.

بطوری که از جدول‌های ۱ و ۲ همچنین از شکل‌های ۹ و ۱۰ پیداست، در ناحیه اول پایداری بیضی‌های فضای فاز برای $k=0$ و $k=0.99$ تغییرات زیادی نکرده‌اند. اما در ناحیه دوم پایداری، این بیضی‌ها برای $k=0$ و $k=0.99$ تغییرات زیادی خواهند کرد. این مسئله دور از ذهن نیست زیرا همانطور که در مورد شکل نوسان یون بحث شد در ناحیه اول در مورد نوسان یون به این نتیجه رسیدیم که پارامتر اصلی در مورد شکل نوسان یون، پارامتر β می‌باشد، بنابراین رفتار نقاط مختلف را می‌توان با توجه به پارامتر β پیش‌بینی کرد. اما در ناحیه دوم علاوه بر پارامتر β ، دو پارامتر a و q نیز اهمیت دارند. یعنی رفتار نقاط مختلف در ناحیه دوم پایداری را باید با توجه به پارامترهای β ، a و q بررسی کرد. در



شکل ۹- بیضی‌های فضای فاز به ازای $\beta_z=0.14$ (ناحیه اول) برای $k=0$ و $k=0.99$



شکل ۱۰- بیضی‌های فضای فاز به ازای $\beta_z=1.8$ (ناحیه دوم) برای $k=0$ و $k=0.99$



References:

1. R.E. March, "Quadrupole Ion Trap Mass Spectrometer," Wiley (1997).
2. R.E. March, "Journal of Mass Spectrometry," An introduction to quadrupole ion trap mass spectrometry. **32**, 351-369 (1997).
3. R.E. March. "Quadrupole ion trap mass spectrometry a view at the turn of the century," Int. J.Mass Spectrometry, 200, 285-312 (2000).
4. E.D. Hoffmann, Vincent Strootant, "Mass Spectrometry, Principles and Applications," Wiley, (2003).
5. S.M. Sadat Kiai, J. Andre, Y. Zerega, G. Brincourt, R. Catella, "Study of a quadrupole ion trap supplied with a periodic impulsional potential," Int. J.Mass Spectrum. Ion Processes, 107,191-203 (1991).
6. S.M. Sadat Kiai, "Confinement of ions in a radio frequency quadrupole ion trap supplied with a periodic impulsional potential," Int. J. Mass Spectrum, 188,177-182 (1999).
7. م. برادران، ع. درودی، س.م. سادات کیائی، "محصورسازی یونها در نواحی پایداری باریک در دام یون چهار قطبی RF ،" کنفرانس هسته‌ای بوشهر، "۱۰۸-۱۰۲" (۱۳۸۳).
8. S.M. Sadat Kiai, M. Baradaran, "Impulsional mode operation for a paul ion trap," Int. J. Mass Spectrum. 247,61 (2005).
9. م. برادران، س.م. سادات کیائی و همکاران، "طیف سنج جرمی دام یون چهار قطبی RF با قدرت تفکیک بالا با ولتاژ ضربه‌ای،" کنفرانس هسته‌ای مشهد، ۱۹۹ (۱۳۸۴).
- 10.L.A. Pipes, "Martix solution of equations of the Mathieu-Hill type," J. Appl. Phys, 24, 902 (1953).
- 11.P.H. Dawson, "A detailed study of the quadrupole mass filter," Int. J. Mass Spectrum. Ion Phys. 14, 313-337 (1974).
- 12.P.H. Dawson and C. Lambert, "A detailed study of the quadrupole ion trap," Int. J. Mass Spectrum. Ion Phys, 16, 269 (1975).
- 13.P.H. Dawson, "Higher zones of stability for the quadrupole mass filter," J. Vac. Sci. Technol, 11, 1151 (1974).
- 14.X. Zhu and D. Qi, "Characteristic of trapped ions in the second stability region of a pual trap," J. of Modern Optics, 39, 291-303 (1992).